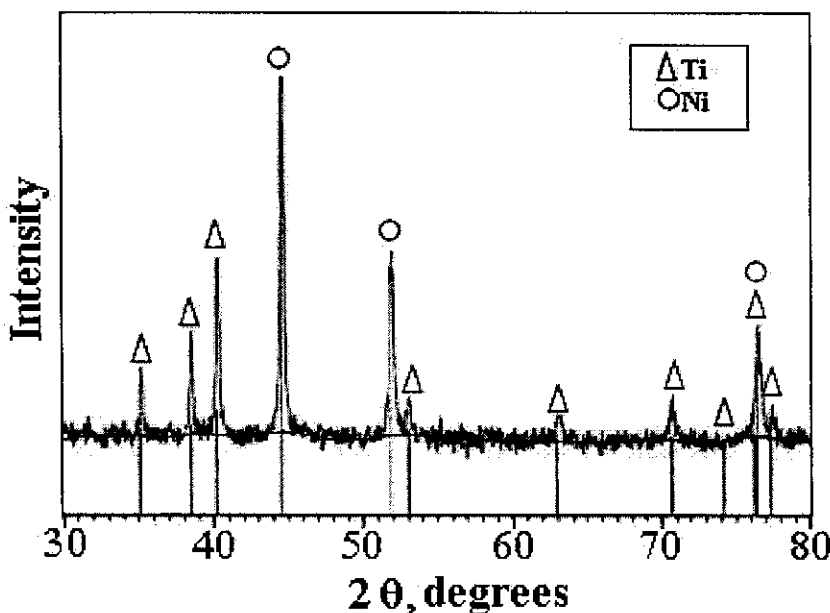


## บทที่ 3

### ผลการทดลองและการอภิปราย

#### 3.1 การบดผสมผงโลหะ

จากรูปที่ 3.1 แสดงผลวิเคราะห์ด้วย XRD จากผงนิกเกิลกับผงไทเทเนียมที่ผ่านการบดผสมด้วยพลาณิตารีบอลมิลล์ (Planetary ball mill) เป็นเวลา 12 ชั่วโมง พบร่วงผสมดังกล่าวยังเป็นนิกเกิลและไทเทเนียมบริสุทธิ์อยู่ แสดงให้เห็นว่าพลังงานในการบดไม่เพียงพอที่จะทำให้เกิดสารประกอบระหว่างนิกเกิลและไทเทเนียมขึ้น



รูปที่ 3.1 ผลวิเคราะห์ด้วย XRD ของผงโลหะผสมระหว่างนิกเกิลกับไทเทเนียมเมื่อผ่านการบดผสมเป็นเวลา 12 ชั่วโมง

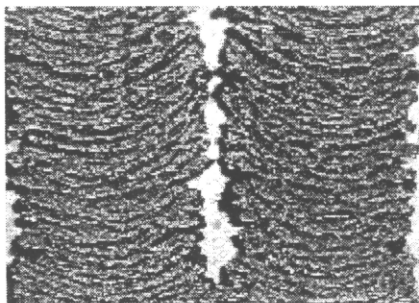
#### 3.2 อิทธิพลของการดันในการขึ้นรูปชิ้นงานกับอุณหภูมิในการอุ่น

##### 3.2.1 อิทธิพลของการดันในการขึ้นรูปกับอุณหภูมิในการอุ่นต่อสัณฐานวิทยาของผลิตภัณฑ์

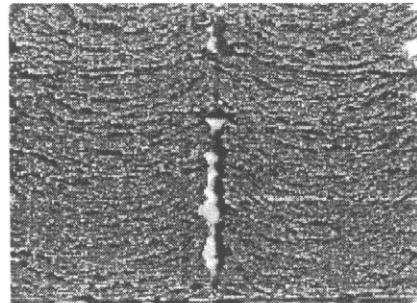
รูปที่ 3.2 แสดงการเปรียบเทียบชิ้นงานเมื่อดัดตามแนวตั้ง (Longitudinal section) ที่ผ่านการสั่งเคราะห์ โดยมีอุณหภูมิการอุ่นชิ้นงานที่  $250^{\circ}\text{C}$  ความดันในการขึ้นรูปชิ้นงาน 8 MPa, 16 MPa และ 64 MPa ตามลำดับ ที่ความดันก๊าซอาร์กอนในเรアクเตอร์ (Reactor) ที่ 138 kPa และ 201 kPa จากรูปที่ 3.2 a-f พบร่วงลักษณะทางสัณฐานวิทยามีลักษณะเป็นร่อง (Channels) เนื่องมาจากเกิดคลื่นความร้อนวิ่งผ่านจากบนลงล่างขณะเกิดปฏิกิริยา ซึ่งเป็นลักษณะเฉพาะของการสั่งเคราะห์ด้วยวิธีนี้ เมื่อพิจารณาที่ความดัน 8 MPa ความดันก๊าซอาร์กอนที่ 138 kPa และ 201 kPa ลักษณะของร่องจะกว้างเนื้องจากอนุภาคที่ยึดเกาะ

กันค่อนข้าง低廉 เพราะว่าความดันในการขึ้นรูปชิ้นงานน้อย เมื่อเกิดปฏิกิริยา SHS ความเร็วของคลื่นความร้อนข้ามเนื่องจากการนำความร้อนต่ำจากการที่มีรูพรุนสูง

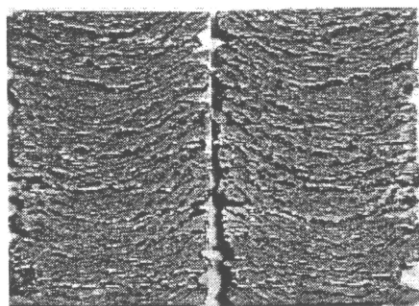
(a) 8MPa-138 kPa



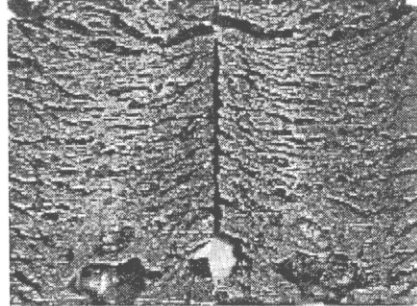
(d) 8MPa-201 kPa



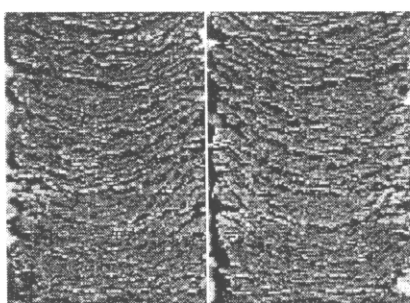
(b) 16MPa-138 kPa



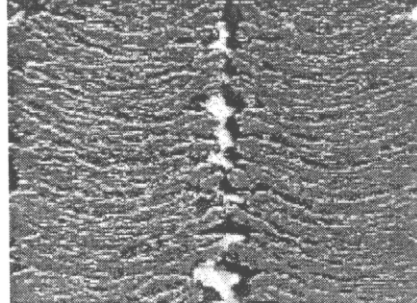
(e) 16MPa-201 kPa



(c) 64MPa-138 kPa



(f) 64MPa-201 kPa



ทิศทางการเกิดความร้อน



รูปที่ 3.2 การเปรียบเทียบภาพชิ้นงานตัดตามแนวตั้งที่อุณหภูมิการอุ่น  $250^{\circ}\text{C}$  ความดันก๊าซ อาร์กอนที่ 138 kPa และ 201 kPa ความดันในการขึ้นรูปชิ้นงานต่างๆ (a, d) 8MPa (b, e) 16MPa และ (c, f) 64MPa

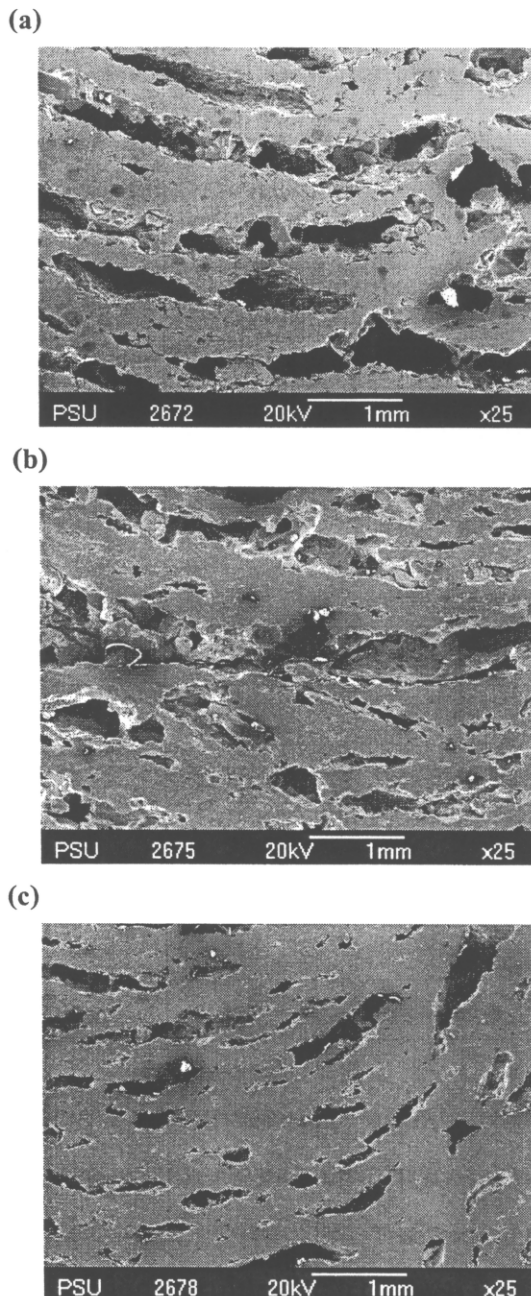
จากรูปที่ 3.2 พบว่าเมื่อเพิ่มความดันในการขึ้นรูปชิ้นงานจาก 8 MPa เป็น 16 MPa และ 64 MPa การยึดเกาะระหว่างอนุภาคแน่นขึ้น ทำให้การนำความร้อนดีขึ้น ส่งผลให้ขนาดของร่องแคบลง ลักษณะของร่องที่เกิดขึ้นจะขาดเป็นช่วงๆ เนื่องมาจากความเร็วของคลื่นความร้อน เมื่อทำการวัดค่า เปอร์เซ็นต์ความพรุน ค่าเปอร์เซ็นต์ความพรุนของชิ้นงานที่ได้ลดลงดัง ตารางที่ 3.1 จะแสดงเดียวกับการเพิ่ม อุณหภูมิในการอุ่นจะทำให้อุณหภูมิการเผาไหม้ของปฏิกิริยาระหว่างนิกเกิลกับไทเทเนียม ( $T_c$ ) เพิ่มขึ้น

และ ความเร็วของการเกิดคลื่นความร้อนสูงขึ้น ทำให้รองที่เกิดขึ้นเกิดการเปลี่ยนแปลงดังรูปที่ 3.3 จากรูปนี้พบว่าเมื่อเพิ่มอุณหภูมิในการอุ่นจะทำให้ความยาวของร่องลดลง ส่งผลให้ความพรุนของชิ้นงานลดลง

ตารางที่ 3.1 ผลวิเคราะห์เบื้อร์เซ็นต์ความพรุนที่ภาวะแตกต่างกัน

Compaction pressure (MPa)	Preheating temperature (°C)	Argon gas pressure in reactor	
		138 kPa	201 kPa
		Total porosity (vol. %)	Total porosity (vol. %)
8	200	57.9	58.0
	250	56.8	57.2
	300	56.2	56.1
16	200	47.7	47.5
	250	46.5	46.7
	300	42.6	43.0
64	200	37.4	37.5
	250	35.8	34.8
	300	31.8	32.5

นอกจากนี้ความหนาแน่นของชิ้นงานเพิ่มขึ้นจะเกิดการแพร่ได้ดีกว่าความหนาแน่นต่ำ อนุภาคของนิกเกิลจะเกิดการแพร่ได้เร็วกว่า เพราะสัมประสิทธิ์การแพร่ของไทเทเนียมต่ำกว่าของนิกเกิล บริเวณที่เกิดการแพร่ของนิกเกิลจะเกิดรูพรุนที่เรียกว่า Kirkendall pore นอกจากนี้ Munis and Wang (1990) พบว่าการเกิดรูพรุนที่มีลักษณะเป็นร่องหรือ Channels มี helyalysan แทรก ได้แก่ (1) เกิดจากรูพรุนที่มีอยู่แล้วในชิ้นงานดิบก่อนทำการสังเคราะห์ (2) การลดลงของปริมาตรจำเพาะของสารตั้งต้นเป็นผลิตภัณฑ์ (3) อัตราการเกิดการแพร่ระหว่างนิกเกิลกับไทเทเนียม (4) การเปลี่ยนแปลงของก๊าซในระหว่างเกิดปฏิกิริยา (5) การถ่ายโอนความร้อนเนื่องจากเกิดความร้อนสูงในระหว่างการเกิดปฏิกิริยาและ (6) ความหนาแน่นของชิ้นงานที่ไม่สม่ำเสมอเนื่องมาจากการขึ้นรูปแบบทิศทางเดียว เป็นต้น

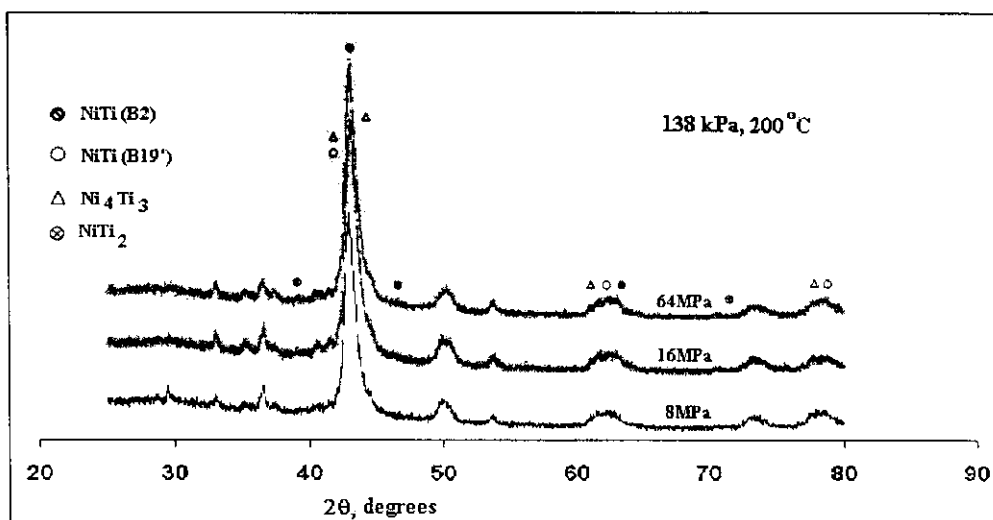


รูปที่ 3.3 ภาพตัดตามแนวตั้งของชิ้นงานที่ขึ้นรูปด้วยความดัน 8 MPa และความดันก๊าซอาร์ก온 138 kPa ที่อุณหภูมิการอุ่นแตกต่างกัน (a)  $200^{\circ}\text{C}$  (b)  $250^{\circ}\text{C}$  และ (c)  $300^{\circ}\text{C}$

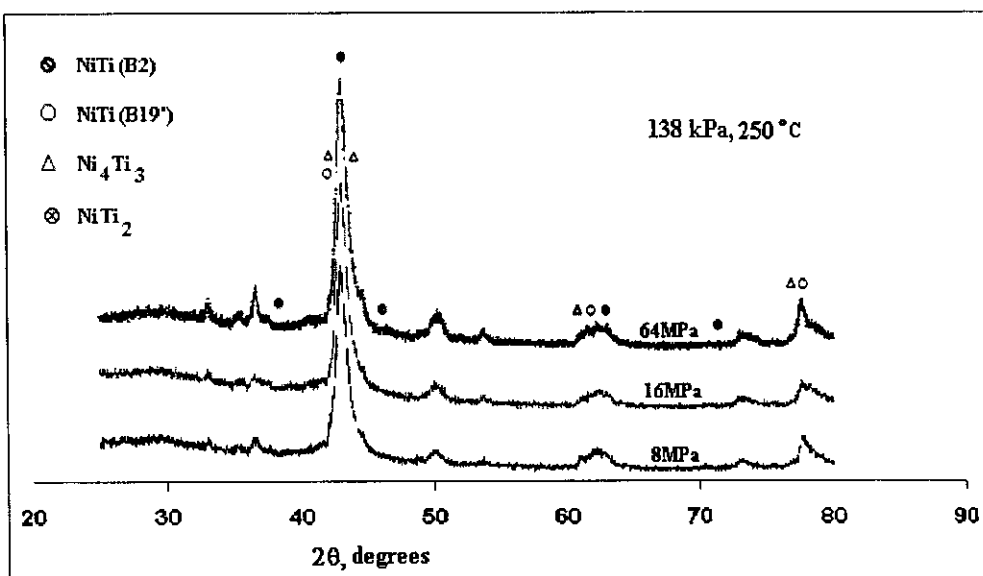
### 3.2.2 อิทธิพลของการดันในการขึ้นรูปชิ้นงานกับอุณหภูมิในการอุ่นต่อการเกิดเฟส

พิจารณารูปที่ 3.4-3.6 แสดงผลวิเคราะห์ด้วย XRD ที่ความดันก๊าซอาร์กอน 138 kPa อุณหภูมิในการอุ่น  $200^{\circ}\text{C}$  ความดันในการขึ้นรูปชิ้นงาน 8MPa 16MPa และ 64MPa ตามลำดับ เมื่อวิเคราะห์ผลด้วย XRD พบว่าเกิดเฟสขึ้นดังนี้ NiTi (B2) NiTi (B19')  $\text{Ni}_4\text{Ti}_3$  และ  $\text{Ni}_3\text{Ti}_2$  ภายใต้ความดันในการขึ้นรูปชิ้นงานและอุณหภูมิในการอุ่นที่แตกต่างกัน ซึ่งลักษณะดังกล่าวคล้ายคลึงกันเมื่ออุณหภูมิ

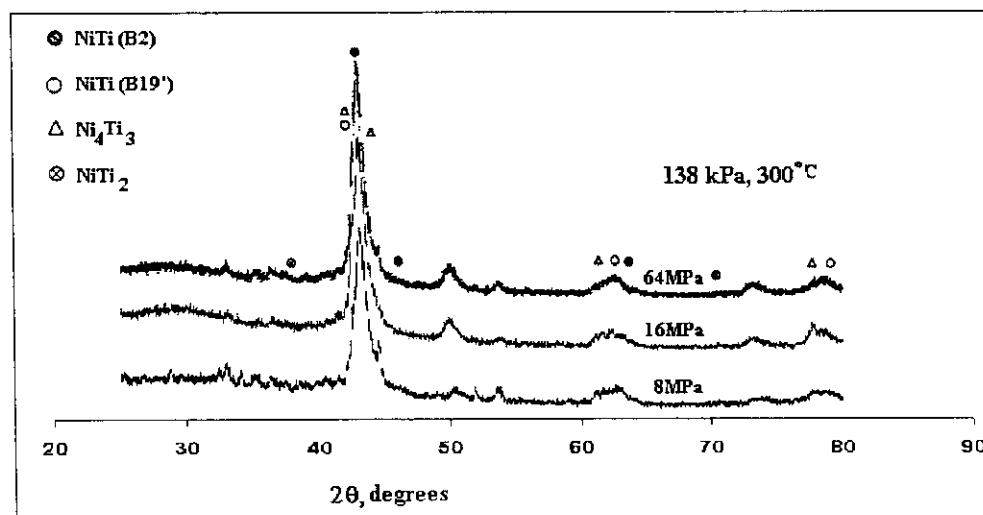
การอุ่นเป็น  $250^{\circ}\text{C}$  และ  $300^{\circ}\text{C}$  ถึงแม้ว่าอุณหภูมิการอุ่นจะเป็นต่อระบบการสังเคราะห์นิกเกิล-ไทเทเนียมเพื่อการขยายความร้อนระหว่างนิกเกิลและไทเทเนียมจำนวนมาก จำเป็นที่จะต้องให้ความร้อนก่อนจุดระเบิดแต่การเกิดเฟสที่หลักหลายนั้นเป็นเรื่องทั่วไปของการสังเคราะห์ด้วยวิธี SHS เนื่องจากโอกาสที่นิกเกิลจะจับกับไทเทเนียมแบบหนึ่งต่อหนึ่งเมื่อทำการบดผสมมีโอกาสซ่อนอยู่ว่าเมื่อเทียบกับการผสมในสัดส่วนหรือขนาดอนุภาคของสารตั้งต้นที่แตกต่างกันมากทำให้สัดส่วนการผสมไม่เป็นอัตราส่วนหนึ่งต่อหนึ่ง การเพิ่มความดันเป็นการเพิ่มโอกาสให้ผงนิกเกิลและไทเทเนียมได้สัมผัสนานมากขึ้น เพสต่างๆที่เกิดขึ้น เช่น NiTi (B2) NiTi(B19') และ NiTi<sub>2</sub> เป็นเฟสที่เสถียร ส่วน Ni<sub>4</sub>Ti<sub>3</sub> เป็นเฟสกึ่งเสถียร เพส Ni<sub>4</sub>Ti<sub>3</sub> มีผลต่อการเปลี่ยนรูปของเฟสมาตรฐานๆซึ่งเกิดเป็น R-phase นอกจากนี้ปริมาณ Ni อิสระที่ผสมอยู่ในเมตริก (Matrix) ยังมีผลต่อสมบัติการเข้ารูปอีกด้วย เนื่องจากเพส Ni<sub>4</sub>Ti<sub>3</sub> เป็นเฟสกึ่งเสถียรสามารถกำจัดได้โดยนำชิ้นงานไปอบคลาย (Solution treatment) และบ่ม (Aging) ส่วนเพส NiTi<sub>2</sub> ทำให้ชิ้นงานที่ได้เป็นรูป การกำจัดโดยผ่านกระบวนการทางความร้อนมีผลน้อยมากเนื่องจาก NiTi<sub>2</sub> เป็นเฟสที่เสถียร (Chu et al., 2006) สำหรับปริมาณสารประกอบต่างๆเมื่อคำนวณโดยประมาณที่คิดจากพื้นที่ไดกราฟของแต่ละเฟส สามารถคิดเป็นร้อยละได้ดังตารางที่ 3.2 เมื่อพิจารณาค่าพลังงานกึบส์ (Gibbs energies) พบว่าเฟสที่เกิดง่ายสุดคือ Ni<sub>4</sub>Ti<sub>3</sub>, NiTi<sub>2</sub> และ NiTi ตามลำดับ จากตารางที่ 3.2 เมื่ออุณหภูมินในการอุ่นเพิ่มขึ้นส่งผลให้เฟส NiTi ลดลง เนื่องมาจากความเร็วของคลื่นความร้อนที่เกิดขึ้นเพิ่มสูงขึ้น เวลาที่ใช้ในการเกิดปฏิกิริยาให้ได้เฟสที่เสถียรภาพของ NiTi ลดลง ทำให้เกิดเฟสกึ่งเสถียรภาพ Ni<sub>4</sub>Ti<sub>3</sub> หากขึ้น ส่วนเพส NiTi<sub>2</sub> ไม่มีการเปลี่ยนแปลงແดออย่างใด เนื่องจากเป็นเฟสที่เสถียรที่อุณหภูมิสูง เมื่อทำการเปรียบระหว่างความดันก้าชที่ 138 kPa และ 201 kPa พบว่าแนวโน้มที่เกิดขึ้นทุกสภาวะการทดลองมีแนวโน้มเหมือนกัน



รูปที่ 3.4 ผลวิเคราะห์ด้วย XRD ของตัวอย่างที่ความดันในการขึ้นรูปชิ้นงานแตกต่างกัน อุณหภูมิการอุ่น  $200^{\circ}\text{C}$  และความดันก้าชาร์กอน 138 kPa



รูปที่ 3.5 ผลวิเคราะห์ด้วย XRD ของตัวอย่างที่ความดันในการเข็นรูปชิ้นงานแตกต่างกัน อุณหภูมิการอุ่น 250 °C และความดันก๊าซอาร์กอน 138 kPa



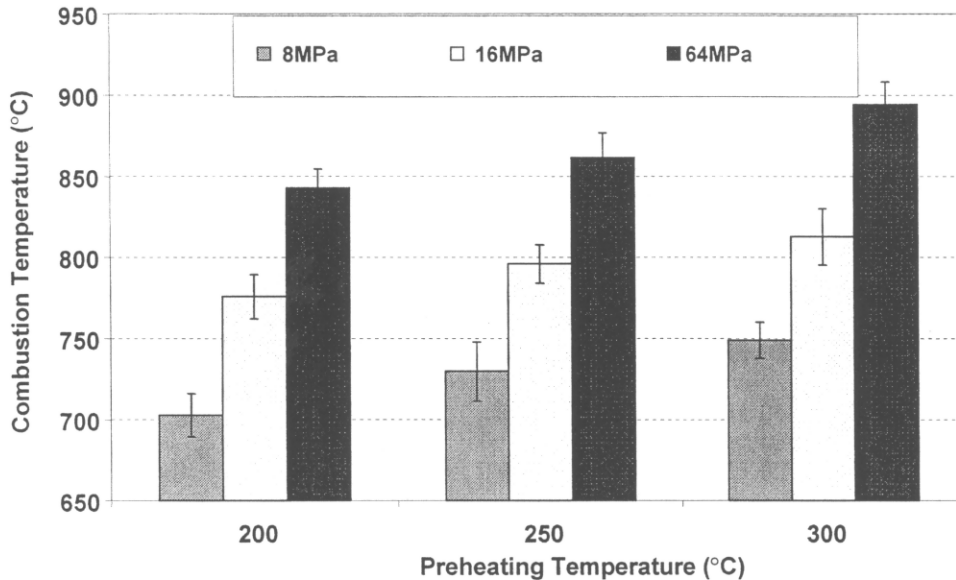
รูปที่ 3.6 ผลวิเคราะห์ด้วย XRD ของตัวอย่างที่ความดันในการเข็นรูปชิ้นงานแตกต่างกัน อุณหภูมิการอุ่น 300 °C และความดันก๊าซอาร์กอนที่ 138 kPa

ตารางที่ 3.2 ปริมาณสารประกอบต่างๆที่เกิดขึ้นจากการสังเคราะห์ที่ภาวะแตกต่างกัน

Compaction pressure (MPa)	Preheating temperature (°C)	Compounds					
		Argon gas pressure in reactor					
		138 kPa			201 kPa		
		NiTi (%)	Ni <sub>4</sub> Ti <sub>3</sub> (%)	NiTi <sub>2</sub> (%)	NiTi (%)	Ni <sub>4</sub> Ti <sub>3</sub> (%)	NiTi <sub>2</sub> (%)
8	200	63.22	25.61	11.17	68.01	20.53	11.46
	250	61.02	27.72	11.26	64.91	22.8	12.28
	300	60.01	28.67	11.32	59.7	28.09	12.20
16	200	65.25	23.59	11.16	67.92	19.63	12.45
	250	65.18	23.32	11.50	64.47	22.92	12.61
	300	65.04	23.07	11.89	63.85	23.19	12.96
64	200	64.79	23.41	11.80	65.91	22.37	11.72
	250	62.95	24.93	12.12	62.93	25.26	11.81
	300	60.12	27.24	12.64	59.03	28.12	12.85

### 3.2.3 อิทธิพลของความดันในการขึ้นรูปชิ้นงานกับอุณหภูมิในการอุ่นต่ออุณหภูมิการเผาไหม้ (Combustion temperature) ของปฏิกิริยาระหว่างนิกเกิลกับไทเทเนียม

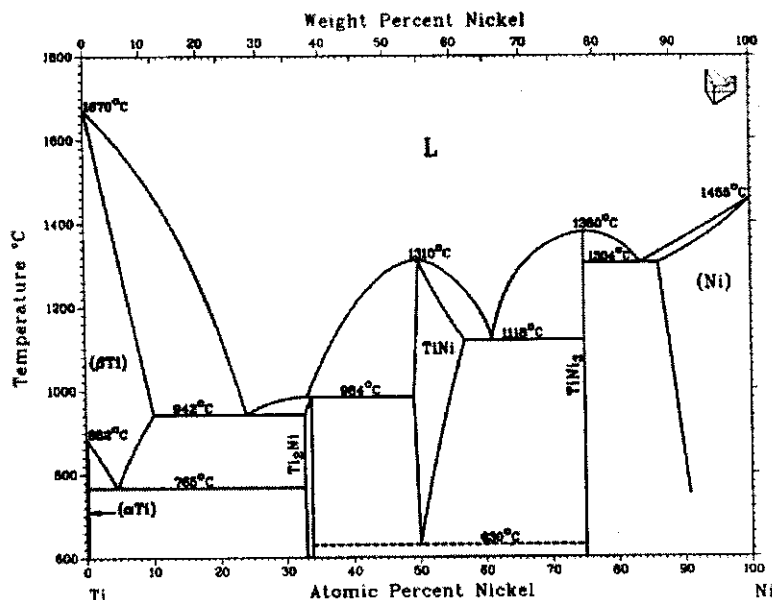
พิจารณา率ปที่ 3.7 พบว่าที่อุณหภูมิการอุ่นชิ้นงาน 200°C ความดันในการขึ้นรูปชิ้นงานที่ 8 MPa และความดันก๊าซอาร์กอน 138 kPa อุณหภูมิการเผาไหม้ของปฏิกิริยาระหว่างนิกเกิลกับไทเทเนียมมีค่าเท่ากับ 703°C อุณหภูมิการเผาไหม้ของปฏิกิริยาระหว่างนิกเกิลกับไทเทเนียมมีค่าเพิ่มขึ้นจาก 730°C ไปเป็น 749°C เมื่ออุณหภูมิในการอุ่นเพิ่มจาก 250°C ไปเป็น 300°C อุณหภูมิการเผาไหม้ของปฏิกิริยาระหว่างนิกเกิลกับไทเทเนียมเพิ่มขึ้นตามอุณหภูมิการอุ่น นอกจากนี้อุณหภูมิการเผาไหม้ของปฏิกิริยาระหว่างนิกเกิลกับไทเทเนียมที่สูงขึ้นทำให้ความเร็วของการเกิดคลื่นความร้อนสูงขึ้นด้วย ปกติการเกิดปฏิกิริยาระหว่างนิกเกิลกับไทเทเนียม ความร้อนที่ให้ออกมาน้อยไม่เพียงพอที่จะทำให้เกิดปฏิกิริยาได้ด้วยตัวเอง ดังนั้นการอุ่นชิ้นงานก่อนทำการจุดระเบิดจึงเป็นทางเลือกที่ใช้แก้ปัญหานี้



รูปที่ 3.7 ความสัมพันธ์ระหว่างอุณหภูมิในการอุ่นกับอุณหภูมิการเผาไหม้ของปฏิกิริยาระหว่างนิกเกิลกับไทเทเนียมที่ความดันในการขึ้นรูปชิ้นงาน 8, 16 และ 64 MPa ความดันกําชาร์กอน 138 kPa

จากการวิจัยของ Li และคณะ (2000) พบว่าการอุ่นชิ้นงานที่  $150^{\circ}\text{C}$  หรือต่ำกว่านี้จะไม่ทำให้เกิดปฏิกิริยา SHS เพราะความร้อนที่ให้แก่ชิ้นงานไม่เพียงพอที่จะทำให้เกิดปฏิกิริยาด้วยตัวมันเอง ได้ สาเหตุจากความร้อนบางส่วนสูญเสียให้แก่สิ่งแวดล้อมขณะเกิดปฏิกิริยา ทำให้ชิ้นงานคุดซับความร้อนไม่ทั่วทั้งชิ้น ชิ้นงานจะคุดซับความร้อนแค่ภายนอกเท่านั้นแต่ภายในเนื้อชิ้นงานความร้อนเข้าไปไม่ถึง เมื่อทำการอุ่นระเบิดคลื่นความร้อนจะเคลื่อนที่ได้ไม่ไกลและหยุดในที่สุด ขณะเดียวกันเมื่อเพิ่มความดันในการขึ้นรูปชิ้นงาน แนวโน้มอุณหภูมิการเผาไหม้ของปฏิกิริยาระหว่างนิกเกิลกับไทเทเนียมมีค่าเพิ่มขึ้น เช่นกัน ที่เป็นเช่นนี้ เพราะว่าการเพิ่มความดันในการขึ้นรูปชิ้นงานทำให้การยึดเกาะระหว่างอนุภาคมีมากขึ้นทำให้ชิ้นงานดิบ มีความหนาแน่นเพิ่มขึ้น ส่งผลให้การนำความร้อนเพิ่มขึ้น จากการทดลองพบว่าอุณหภูมิการเผาไหม้ของปฏิกิริยาระหว่างนิกเกิลกับไทเทเนียมที่ได้จากการทดลองต่ำกว่า อุณหภูมิยูเทกติก (Eutectic temperature) เมื่อพิจารณาจากเฟสไดอะแกรมของนิกเกิล-ไทเทเนียม ดังรูปที่ 3.8 พบว่าอุณหภูมิยูเทกติกอยู่ที่  $942^{\circ}\text{C}$  เมื่อทำงานตัดชิ้นงานตามแนวตั้ง (รูปที่ 3.2 a-f) พบว่าลักษณะของเนื้อชิ้นงานที่มีความเป็นเนื้อเดียวกันตลอดทั้งชิ้น แสดงว่ามีเฟสของเหลวเกิดขึ้นขณะเกิดปฏิกิริยา แต่จากการวัดด้วยเทอร์โมคัปเปิลชนิดเค (Type K) พบว่าอุณหภูมิการเผาไหม้ของปฏิกิริยาระหว่างนิกเกิลกับไทเทเนียมต่ำกว่า  $942^{\circ}\text{C}$  ทุกการทดลอง ดังตารางที่ 3.3 อาจเกิดจากหลายสาเหตุดังนี้ การติดตั้งเทอร์โมคัปเปิลทำได้โดยการนำเทอร์โมคัปเปิลมาสัมผัสกับผิวชิ้นงานเท่านั้น ทำให้อุณหภูมิที่วัดได้จากเทอร์โมคัปเปิลต่ำกว่าอุณหภูมิ

จริงของชิ้นงาน และอัตราการเกิดปฏิกิริยาเกิดขึ้นเร็วมากทำให้อุณหภูมิที่เพิ่มขึ้นและลดลงเกิดขึ้นอย่างรวดเร็วทำให้ความไวในการตอบสนองของเทอร์โมคัปเป็นครัวจัดไม่ทัน เมื่อพิจารณาตารางที่ 3.3 พบว่า ความดันในการขึ้นรูปชิ้นงานและอุณหภูมิในการอุ่นเพิ่มขึ้นทำให้อุณหภูมิการเผาไหม้ของปฏิกิริยาระหว่างนิกเกลกับไทเทเนียมเพิ่มขึ้นด้วย



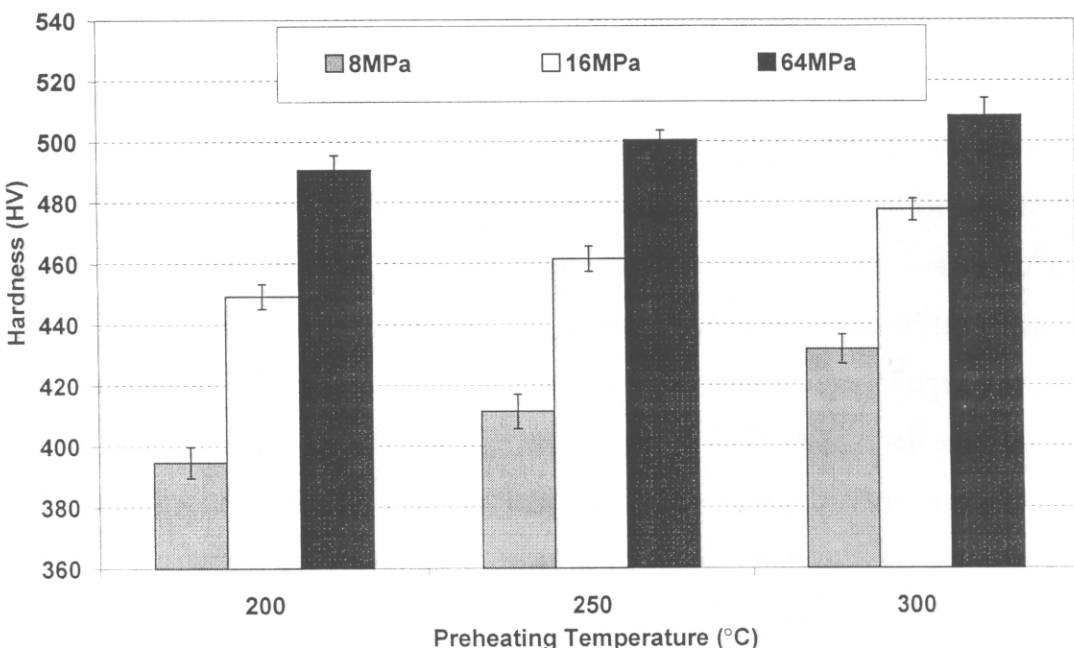
รูปที่ 3.8 เฟสที่โดดเด่นของระบบ Ni-Ti (Li et al., 2000)

ตารางที่ 3.3 ผลการวัดอุณหภูมิการเผาไหม้ของปฏิกิริยาระหว่างนิกเกลกับไทเทเนียมที่ภาวะแตกต่างกัน

Compaction pressure (MPa)	Preheating temperature (°C)	Argon gas pressure in reactor	
		138 kPa	201 kPa
		Combustion temperature (°C)	Combustion temperature (°C)
8	200	703 ± 13	696 ± 13
	250	730 ± 18	723 ± 13
	300	749 ± 11	744 ± 10
16	200	776 ± 13	769 ± 15
	250	796 ± 12	792 ± 17
	300	813 ± 17	806 ± 13
64	200	843 ± 12	836 ± 18
	250	861 ± 15	852 ± 15
	300	894 ± 14	889 ± 17

### 3.2.4 อิทธิพลของความดันในการขึ้นรูปชิ้นงานกับอุณหภูมิในการอุ่นต่อความแข็ง (Hardness)

พิจารณาจากรูปที่ 3.9 พบว่าความดันในการขึ้นรูปชิ้นงานของชิ้นงานที่ 8 MPa เมื่ออุณหภูมิในการอุ่นชิ้นงานเพิ่มขึ้นทำให้ความแข็งของโลหะที่สังเคราะห์ได้มีค่าสูงขึ้นกล่าวคืออุณหภูมิการอุ่นเป็น  $200^{\circ}\text{C}$   $250^{\circ}\text{C}$  และ  $300^{\circ}\text{C}$  จะให้ความแข็งของชิ้นงานเป็น 395HV 411HV และ 432HV ตามลำดับ และพบว่าความดันในการขึ้นรูปชิ้นงานเพิ่มขึ้นจะทำให้ค่าความแข็งของโลหะที่สังเคราะห์ได้เพิ่มสูงขึ้น กล่าวคือเมื่อพิจารณาที่อุณหภูมิในการอุ่น  $200^{\circ}\text{C}$ - $300^{\circ}\text{C}$  และตารางที่ 3.4 ที่เป็นเช่นนี้ เพราะค่าความแข็งของชิ้นงานขึ้นกับความดันในการขึ้นรูปชิ้นงาน เนื่องจากความหนาแน่นของชิ้นงานดิบที่เพิ่มขึ้น ทำให้การถ่ายโอนความร้อนดีขึ้นปฎิกริยา SHS เกิดได้สมบูรณ์ขึ้นส่งผลให้ความแข็งเพิ่มขึ้น เนื่องจากชิ้นงานที่เกิดการเผาไหม้สมบูรณ์จะเกิดเฟสหดหายเฟส ซึ่งแต่ละเฟสจะมีความแข็งเพิ่งแตกต่างกัน ส่วนอิทธิพลในการอุ่นส่งผลให้ค่าความแข็งของชิ้นงานเพิ่มตามอุณหภูมิการอุ่น เพราะว่าการเพิ่มอุณหภูมิในการอุ่นทำให้อุณหภูมิการเผาไหม้ของปฎิกริยาระหว่างนิกเกิลกับไทเทเนียมสูงขึ้น รวมทั้งเพิ่มความเร็วของการเกิดคลื่นความร้อนทำให้เกิดเฟสต่างๆมากขึ้นแต่ละเฟสก็มีความแข็งเพิ่งแตกต่างกัน ค่าความแข็งของเฟส NiTi (B19') และ NiTi (B2) ตามทฤษฎีมีค่าความแข็งที่  $200\text{HV}$  และ  $320\text{HV}$  ตามลำดับ (Halling, 1967) จากตารางที่ 3.4 ค่าความแข็งที่ได้มีค่าสูงกว่าค่าทางทฤษฎี เนื่องมาจากการเผาไหม้ที่วัดได้ไม่ได้เป็นเฟสเดียวกันตลอดทั้งชิ้นงาน ซึ่งภายในชิ้นงานมีหลายเฟสเกิดขึ้นหลังการสังเคราะห์ ในการวัดค่าความแข็งไม่สามารถระบุเฟสที่จะวัดได้แน่นอน การวัดค่าความแข็งจึงเป็นแบบสุ่มแล้วหาค่าเฉลี่ย



รูปที่ 3.9 ความสัมพันธ์ระหว่างอุณหภูมิในการอุ่นกับความแข็งที่ความดันในการขึ้นรูปชิ้นงาน 8, 16 และ 64 MPa ความดันกําชาร์กอน 138 kPa

ตารางที่ 3.4 ผลการวัดค่าความแข็งที่ภาวะแตกต่างกัน

Compaction pressure (MPa)	Preheating Temperature ( $^{\circ}\text{C}$ )	Vickers micro hardness (HV)	
		Argon gas pressure in reactor 138 kPa	201 kPa
8	200	395 $\pm$ 5	387 $\pm$ 5
	250	411 $\pm$ 3	408 $\pm$ 4
	300	432 $\pm$ 6	427 $\pm$ 2
16	200	449 $\pm$ 4	443 $\pm$ 3
	250	461 $\pm$ 4	456 $\pm$ 4
	300	477 $\pm$ 4	469 $\pm$ 4
64	200	491 $\pm$ 5	484 $\pm$ 3
	250	500 $\pm$ 6	492 $\pm$ 6
	300	508 $\pm$ 5	500 $\pm$ 6

### 3.2.5 อิทธิพลของความดันในการขึ้นรูปชิ้นงานกับอุณหภูมิในการอุ่นต่อความแข็งแรง

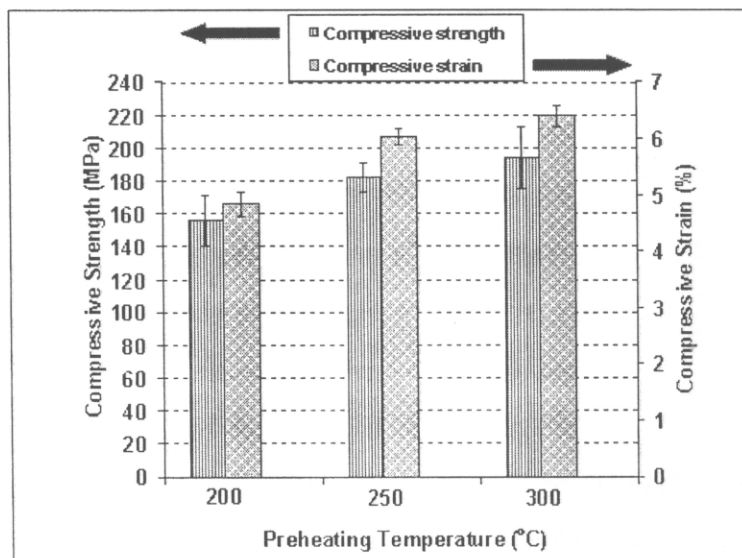
เมื่อนำชิ้นงานไปทดสอบการทานต่อแรงบัด (Compression test) พบร่วมกันที่มีความพรุนสูงจะรับแรงได้น้อย ค่าความแข็งแรงลดลงและความเครียดที่จุดสูงสุดต่ำในทางตรงกันข้ามชิ้นงานที่มีความพรุนต่ำคือมีความหนาแน่นสูงจะรับแรงได้มาก ดังแสดงในตารางที่ 3.5

พิจารณากราฟที่ 3.10 และตารางที่ 3.5 พบร่วมกันอุณหภูมิในการอุ่นชิ้นงาน เนื่องจากความแข็งแรงลดลงที่จุดสูงสุด (Ultimate compressive strength) ของชิ้นงานเปรียบเทียบกับอุณหภูมิในการอุ่นชิ้นงาน เช่น ที่อุณหภูมิการอุ่นชิ้นงาน  $200^{\circ}\text{C}$  ความดันในการขึ้นรูปชิ้นงาน 8 MPa ความแข็งแรงลดลงเปอร์เซ็นต์ความเครียดที่จุดสูงสุดมีค่าเป็น 156 MPa และ 4.84% จะสังเกตได้ว่าเมื่ออุณหภูมิการอุ่นเพิ่มจาก  $250^{\circ}\text{C}$  เป็น  $300^{\circ}\text{C}$  จะทำให้ความแข็งแรงลดลงเพิ่มขึ้นจาก 182 MPa เป็น 194 MPa และเปอร์เซ็นต์ความเครียดที่จุดสูงสุดมีค่าเพิ่มขึ้นจาก 6.02% เป็น 6.40% ตามลำดับ นั่นคือเมื่อความดันในการขึ้นรูปชิ้นงานเพิ่มขึ้น จะทำให้ความแข็งแรงลดลงและเปอร์เซ็นต์ความเครียดที่จุดสูงสุดมีค่าเพิ่มขึ้น (ตารางที่ 3.5) ซึ่งแนวโน้มดังกล่าวคล้ายคลึงกันกับอิทธิพลของความดันในการขึ้นรูปชิ้นงาน สรุปได้ว่าความแข็งแรงลดลงและเปอร์เซ็นต์ความเครียดที่จุดสูงสุดของชิ้นงานขึ้นกับอุณหภูมิการอุ่นและความดันในการขึ้นรูปชิ้นงาน เนื่องจากความดันในการขึ้นรูปชิ้นงานสูงทำให้ความหนาแน่นของชิ้นงานดีขึ้นเพิ่มขึ้นซึ่งเพิ่มพื้นที่การสัมผัสระหว่างอนุภาคมากขึ้น ส่งผลให้การเกิดปฏิกิริยา SHS สมบูรณ์ขึ้นและลดความพรุนลงความหนาแน่นหลังการล้างกระหายน้ำเพิ่มขึ้นทำให้ความแข็งแรงและเปอร์เซ็นต์ความเครียดที่จุดสูงสุดเพิ่มขึ้น

นอกจากนี้อุณหภูมิการอุ่นที่เพิ่มขึ้นยังช่วยทำให้ทิศทางของร่องขนาดกับทิศการเกิดคลื่นความร้อนทำให้ชิ้นงานมีความพรุนลดลง ความแข็งแรงกดและเปอร์เซ็นต์ความเครียดที่จุดสูงสุดเพิ่มขึ้น

ตารางที่ 3.5 ค่าความแข็งแรงกดและเปอร์เซ็นต์ความเครียดที่จุดสูงสุดที่ภาวะแตกต่างกัน

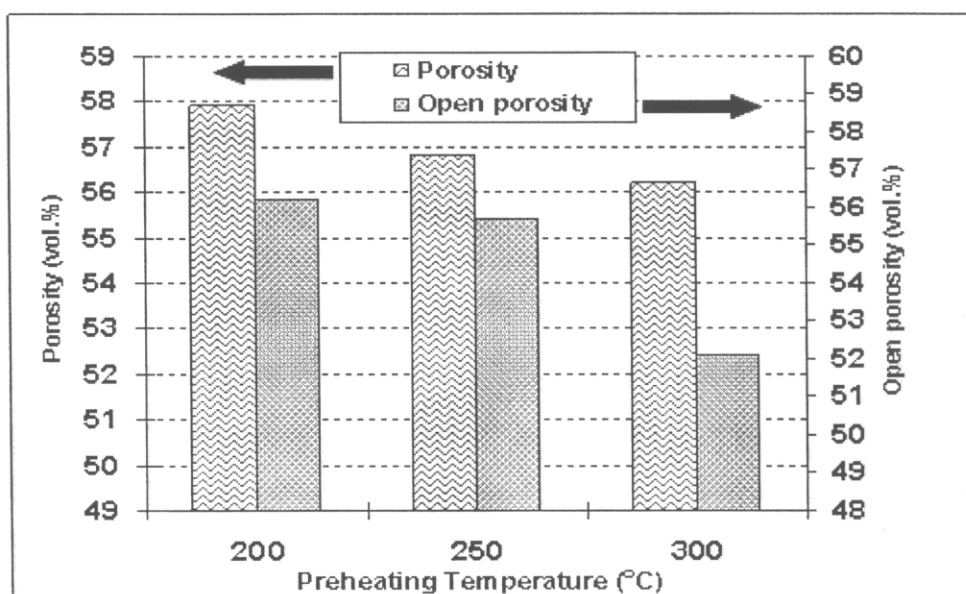
Compaction pressure (MPa)	Preheating temperature (°C)	Argon gas pressure in reactor			
		138 kPa		201 kPa	
		Compressive strength (MPa)	Compressive strain (%)	Compressive strength (MPa)	Compressive strain (%)
8	200	156 ± 15	4.84 ± 0.27	164 ± 14	5.11 ± 0.25
	250	182 ± 9	6.02 ± 0.36	187 ± 13	6.14 ± 0.23
	300	194 ± 19	6.40 ± 0.21	190 ± 16	6.25 ± 0.18
16	200	230 ± 14	8.76 ± 0.21	224 ± 21	8.68 ± 0.41
	250	242 ± 14	9.78 ± 0.10	251 ± 21	9.86 ± 0.12
	300	253 ± 11	10.25 ± 0.22	261 ± 13	10.38 ± 0.21
64	200	290 ± 15	10.97 ± 0.24	297 ± 17	11.13 ± 0.21
	250	320 ± 23	12.02 ± 0.21	312 ± 12	11.59 ± 0.23
	300	344 ± 16	12.75 ± 0.15	350 ± 10	12.92 ± 0.18



รูปที่ 3.10 ความสัมพันธ์ระหว่างอุณหภูมิในการอุ่นที่มีผลต่อความแข็งแรงกดและเปอร์เซ็นต์ความเครียดที่จุดสูงสุดของชิ้นงานที่ขันรูปที่ความดัน 8 MPa และสั่งเคราะห์ที่ความดันก๊าซอะร์กอน 138 kPa

### 3.2.6 อิทธิพลของความดันในการขึ้นรูปชิ้นงานกับอุณหภูมิในการอุ่นต่อเปอร์เซ็นต์ความพรุนและเปอร์เซ็นต์ความพรุนเปิด

พิจารณากราฟที่ 3.11 และตารางที่ 3.6 พบว่าที่อุณหภูมิการอุ่นชิ้นงาน  $200^{\circ}\text{C}$  ความดันในการขึ้นรูปชิ้นงานคงที่เท่ากับ  $8\text{ MPa}$  เปอร์เซ็นต์ความพรุนและเปอร์เซ็นต์ความพรุนเปิดมีค่าเป็น  $57.9\%$  และ  $55.8\%$  ตามลำดับ อัตราส่วนระหว่างความพรุนต่อความพรุนเปิดมีค่าเท่ากับ  $0.96\%$  ค่านี้เป็นตัวชี้วัดว่าชิ้นงานที่ได้มีความพรุนภายในเนื้อชิ้นงาน จากตัวเลขบ่งบอกให้ทราบว่าภายในชิ้นงานมีลักษณะกลวงหรือมีรูพรุนสูงภายในชิ้นงาน จากการทดลองพบว่าเมื่อเพิ่มอุณหภูมิการอุ่นเพิ่มจาก  $250^{\circ}\text{C}$  เป็น  $300^{\circ}\text{C}$  เปอร์เซ็นต์ความพรุนรวมลดลงจาก  $56.8\%$  เป็น  $56.2\%$  ตามลำดับ และเปอร์เซ็นต์ความพรุนเปิดลดลงจาก  $55.4\%$  เป็น  $52.4\%$  ตามลำดับ นอกจากอุณหภูมิการอุ่นแล้วการเพิ่มความดันในการขึ้นรูปชิ้นงานยังส่งผลให้เปอร์เซ็นต์ความพรุนและเปอร์เซ็นต์ความพรุนเปิดลดลงอีกด้วย ดังตารางที่ 3.6 สรุปได้ว่าเปอร์เซ็นต์ความพรุนและเปอร์เซ็นต์ความพรุนเปิดของชิ้นงานลดลง เมื่ออุณหภูมิการอุ่นและความดันในการขึ้นรูปชิ้นงานชิ้นงานเพิ่มขึ้น เนื่องจากการเพิ่มอุณหภูมิการอุ่นและความดันในการขึ้นรูปชิ้นงานชิ้นงาน ทำให้อุณหภูมิการเผาไหม้ของปฏิกิริยาระหว่างนิกเกิลกับไทเทเนียมเพิ่ม รวมทั้งเพิ่มความเร็วของการเกิดคลื่นความร้อนส่งผลให้เปอร์เซ็นต์ความพรุนและเปอร์เซ็นต์ความพรุนเปิดลดลง



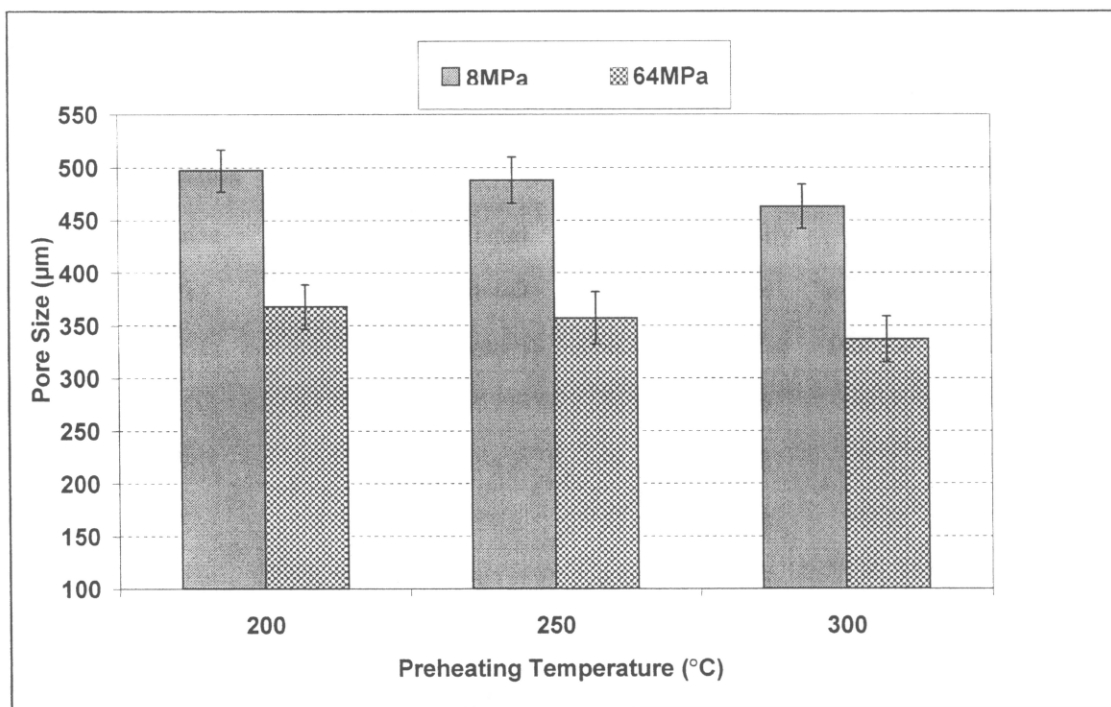
รูปที่ 3.11 ความสัมพันธ์ระหว่างอุณหภูมิในการอุ่นที่มีผลต่อเปอร์เซ็นต์ความพรุนและเปอร์เซ็นต์ความพรุนเปิด ที่ความดันในการขึ้นรูปชิ้นงาน  $8\text{ MPa}$  และความดันก๊าซอาร์กอนที่  $138\text{ kPa}$

ตารางที่ 3.6 ค่าเบอร์เซ็นต์ความพรุน เบอร์เซ็นต์ความพรุนเปิด ที่ภาวะแตกต่างกัน

Compaction pressure (MPa)	Preheating temperature (°C)	Argon gas pressure in reactor					
		138 kPa			201 kPa		
		Total porosity (vol.%)	Open porosity (vol.%)	Porosity ratio	Total porosity (vol.%)	Open porosity (vol.%)	Porosity ratio (vol.%)
8	200	57.9	55.8	0.96	58.0	56.9	0.98
	250	56.8	55.4	0.98	57.2	55.6	0.97
	300	56.2	52.4	0.93	56.1	50.2	0.89
16	200	47.7	42.2	0.88	47.5	39.6	0.83
	250	46.5	41.1	0.88	46.7	36.6	0.78
	300	42.6	37.2	0.87	43.0	34.0	0.79
64	200	37.4	33.8	0.90	37.5	34.7	0.93
	250	35.8	33.5	0.94	34.8	31.8	0.91
	300	31.8	28.1	0.88	32.5	31.9	0.98

### 3.2.7 อิทธิพลของความดันในการขึ้นรูปชิ้นงานกับอุณหภูมิในการอุ่นต่อขนาดรูพรุน (Pore size)

จากรูปที่ 3.12 และตารางที่ 3.7 พบว่าการเพิ่มความดันในการขึ้นรูปชิ้นงานและอุณหภูมิในการอุ่นทำให้ขนาดรูพรุนลดลง เช่น ความดันในการขึ้นรูปชิ้นงานชิ้นงานที่ 8 MPa และ 64 MPa และที่อุณหภูมิการอุ่น 200 °C 250 °C และ 300 °C เมื่อความดันก้าซาร์กอน 138 kPa ขนาดรูพรุนของชิ้นงานลดลงเมื่อเพิ่มอุณหภูมิการอุ่นและเพิ่มความดันในการขึ้นรูปชิ้นงาน พิจารณาที่ความดัน 8 MPa ขนาดรูพรุนของชิ้นงานลดลงดังนี้ 497 μm 488 μm และ 463 μm เมื่อเพิ่มอุณหภูมิการอุ่นเพิ่มจาก 200 °C เป็น 250 °C และ 300 °C ตามลำดับ เนื่องจากเป็นการเพิ่มความดันในการขึ้นรูปชิ้นงานและการเพิ่มอุณหภูมิในการอุ่นทำให้การนำความร้อนของชิ้นงานดีขึ้น การยึดเกาะระหว่างอนุภาคแน่นขึ้นเมื่อโลหะเริ่มเกิดเฟสของเหลวในขณะสังเคราะห์



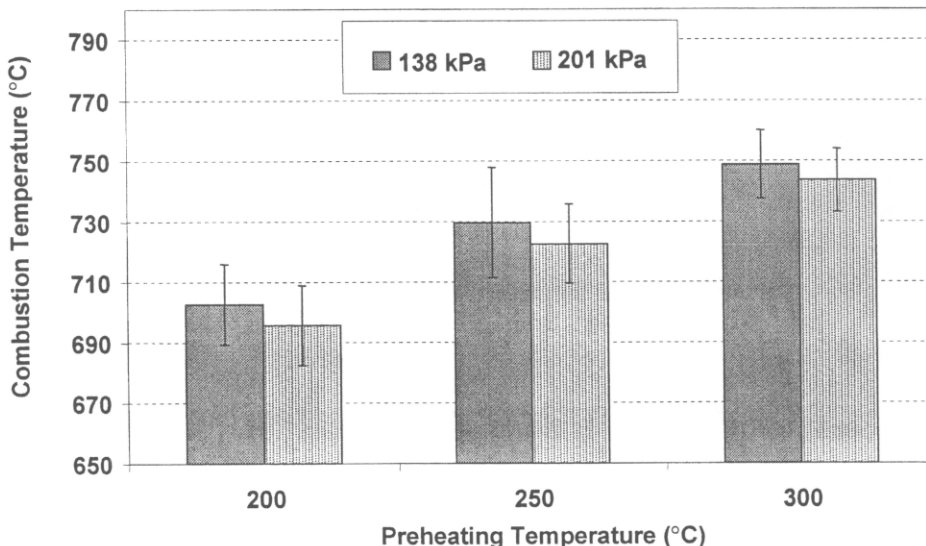
รูปที่ 3.12 ความสัมพันธ์ระหว่างอุณหภูมิในการอุ่นที่มีผลต่อขนาดรูพรุนที่ความดันในการขึ้นรูปชิ้นงานแตกต่างกันและความดันก๊าซอาร์กอน 138 kPa

ตารางที่ 3.7 ค่าขนาดรูพรุนที่ภาวะแตกต่างกัน

Compaction pressure (MPa)	Preheating temperature (°C)	Pore size (μm)	
		Argon gas pressure in reactor	
		138 kPa	201 kPa
8	200	497 ± 20	510 ± 24
	250	488 ± 22	495 ± 19
	300	463 ± 21	477 ± 20
16	200	441 ± 25	452 ± 17
	250	432 ± 26	437 ± 18
	300	416 ± 20	425 ± 22
64	200	368 ± 21	382 ± 22
	250	357 ± 25	365 ± 23
	300	337 ± 22	346 ± 25



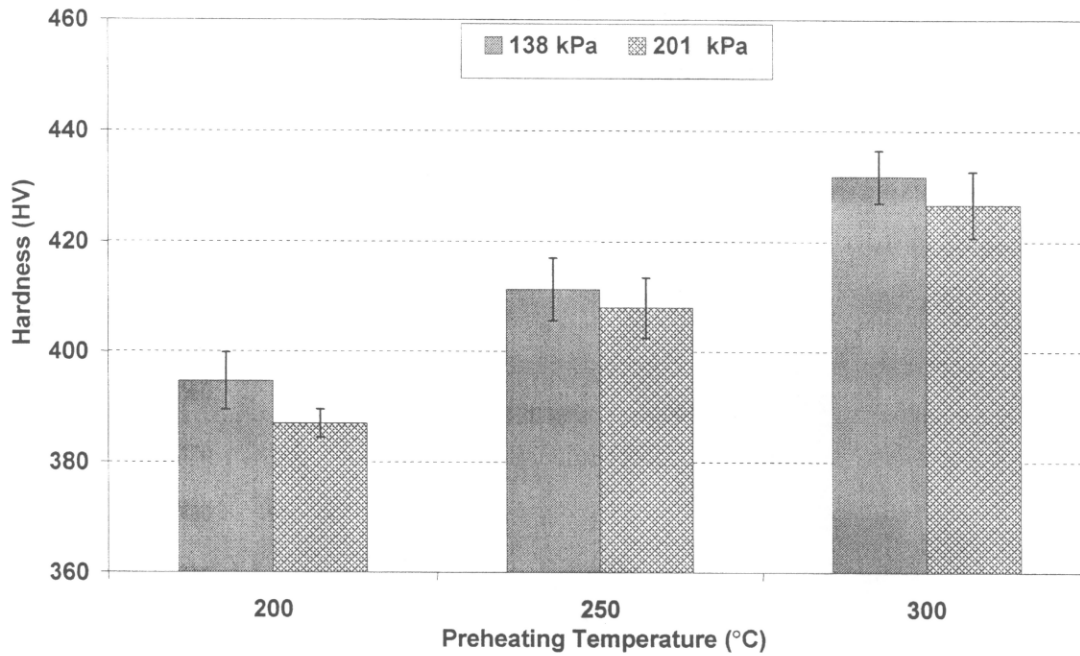
และ 201 kPa พบว่าค่าอุณหภูมิการเผาไหม้ของปฏิกิริยาระหว่างนิกเกิลกับไทเทเนียมเฉลี่ยมีค่าใกล้เคียงกันคือ  $703^{\circ}\text{C}$  และ  $696^{\circ}\text{C}$  เมื่ออุณหภูมิการอุ่นเพิ่มเป็น  $250^{\circ}\text{C}$  ค่าอุณหภูมิการเผาไหม้ของปฏิกิริยาระหว่างนิกเกิลกับไทเทเนียมที่  $138 \text{ kPa}$  และ  $201 \text{ kPa}$  เป็น  $730^{\circ}\text{C}$  และ  $723^{\circ}\text{C}$  กล่าวคือความดันกําซาร์กอนที่เพิ่มขึ้นส่งผลให้ค่าอุณหภูมิการเผาไหม้ของระบบลดลงเล็กน้อยเนื่องมาจากการอุณหภูมิการเผาไหม้ของปฏิกิริยาระหว่างนิกเกิลกับไทเทเนียมลดต่ำลง (ตารางที่ 3.8)



รูปที่ 3.13 การเปรียบเทียบระหว่างอุณหภูมิในการอุ่นที่มีผลต่ออุณหภูมิการเผาไหม้ของปฏิกิริยาระหว่างนิกเกิลกับไทเทเนียมที่ความดันในการขึ้นรูปชิ้นงาน  $8 \text{ MPa}$  และความดันกําซาร์กอนที่  $138 \text{ kPa}$  และ  $201 \text{ kPa}$

### 3.3.2 อิทธิพลของความดันกําซาร์กอนต่อความแข็ง (Hardness)

จากรูปที่ 3.14 และตารางที่ 3.4 พบว่าความดันกําซาร์กอนในรีแอ๊กเตอร์มีผลต่อความแข็งน้อยมาก กล่าวคือเมื่อความดันกําซาร์กอนเพิ่มขึ้นจาก  $138 \text{ kPa}$  เป็น  $201 \text{ kPa}$  เช่น ที่อุณหภูมิการอุ่นชิ้นงาน  $200^{\circ}\text{C}$  พบว่าความแข็งเฉลี่ยต่างกันน้อยมาก คือ  $395 \text{ HV}$  และ  $387 \text{ HV}$  เมื่อพิจารณาแนวโน้มของค่าความแข็งเฉลี่ยที่ภาวะเดียวกันการเพิ่มความดันกําซาร์กอนในรีแอ๊กเตอร์พบว่าผลที่ได้ไม่ต่างกัน



รูปที่ 3.14 การเปรียบเทียบระหว่างอุณหภูมิในการอุ่นที่มีผลต่อค่าความแข็งที่ความดันในการขึ้นรูปชิ้นงาน 8MPa และความดันก๊าซอาร์กอนที่ 138 kPa และ 201 kPa

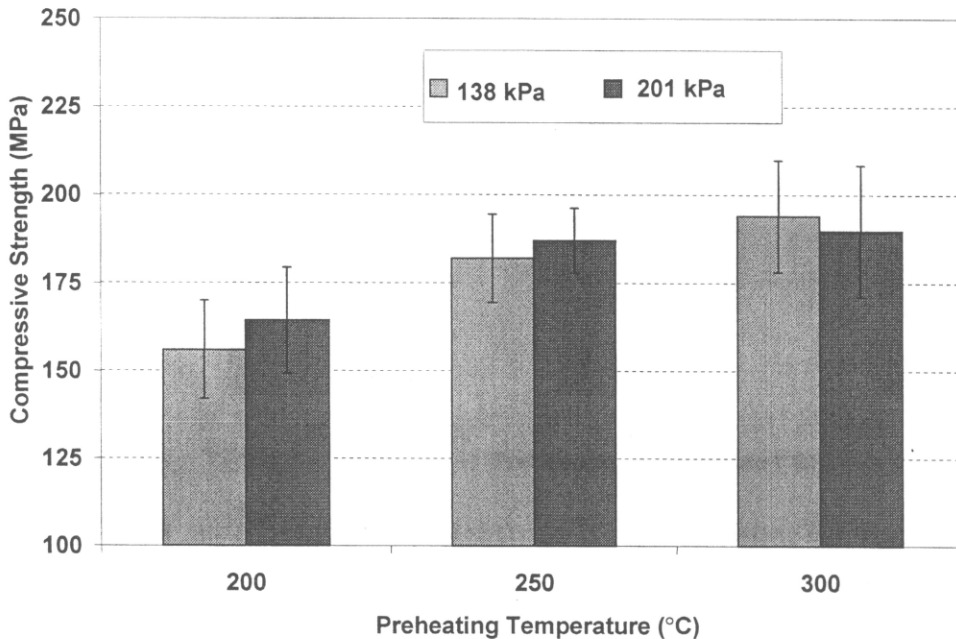
### 3.3.3 อิทธิพลของความดันก๊าซอาร์กอนต่อความแข็งแรง

จากรูปที่ 3.15 และตารางที่ 3.5 พบร่วมกันว่าความดันก๊าซอาร์กอนในรีแอ็กเตอร์มีผลต่อความแข็งแรงลดลงเมื่อเพิ่มความดันก๊าซอาร์กอนเพิ่มขึ้นจาก 138 kPa เป็น 201 kPa ทำให้ความแข็งแรงลดลงมาก กล่าวคือเมื่อความดันก๊าซอาร์กอนเพิ่มขึ้นจาก 138 kPa เป็น 201 kPa ทำให้ความแข็งแรงลดลงมาก แต่ต้องทราบว่าความแข็งแรงลดลงน้อย เช่น ที่อุณหภูมิการอุ่นชิ้นงาน 200°C ความดันในการขึ้นรูปชิ้นงาน 8MPa พบร่วมกันว่าความแข็งแรงเฉลี่ยมีค่าใกล้เคียงกันคือ 156 MPa และ 164 MPa เปอร์เซ็นต์ความเครียดเท่ากับ 4.84% และ 5.11% ตามลำดับ เมื่อพิจารณาที่ภาวะอุณหภูมิการอุ่นที่ 250°C ความแข็งแรงลดลงเฉลี่ยที่ได้เท่ากับ 182 MPa และ 187 MPa เปอร์เซ็นต์ความเครียดเท่ากับ 6.02% และ 6.14% ตามลำดับ แนวโน้มที่ได้ก็ไม่ต่างกันเมื่อทำการเปรียบเทียบที่ภาวะเดียวกันแต่เปลี่ยนความดันก๊าซอาร์กอน (จาก 138 kPa เป็น 201 kPa) กล่าวคือความดันก๊าซอาร์กอนที่เพิ่มขึ้นเพิ่มขึ้นจาก 138 kPa เป็น 201 kPa ไม่ได้ส่งผลต่อความแข็งแรงลดลงแต่เปอร์เซ็นต์ความเครียด

### 3.3.4 อิทธิพลของความดันก๊าซอาร์กอนต่อความพรุนและขนาดรูพรุน

จากการทดลองพบว่าค่าเปอร์เซ็นต์ความพรุนรวม เปอร์เซ็นต์ความพรุนเปิด และขนาดรูพรุนไม่ได้ขึ้นอยู่กับอิทธิพลของความดันก๊าซ จากตารางที่ 3.6 พิจารณาที่ความดัน 8MPa พบร่วมกันเพิ่มความดันก๊าซอาร์กอนจาก 138 kPa เป็น 201 kPa ค่าเปอร์เซ็นต์ความพรุนรวม 57.9% และ 58.0% ค่าเปอร์เซ็นต์ความพรุนเปิด 55.8% และ 56.9% ตามลำดับ นอกจากนี้เมื่อพิจารณาถึงขนาดรูพรุน จากตารางที่ 3.7 ขนาดรูพรุนที่ความดันในการขึ้นรูปชิ้นงาน 8MPa คือ 497 μm และ 510 μm ที่ภาวะอื่นๆ เช่นเดียวกัน

ผลการทดลองที่ได้มีแนวโน้มคล้ายกัน พوزะสรุปได้ว่าการเพิ่มความดันกําชาร์กอนจาก 138 kPa เป็น 201 kPa ที่ภาวะเดียวกันไม่ได้ทำได้ เปอร์เซ็นต์ความพรุนรวม เปอร์เซ็นต์ความพรุนเปิด และขนาดครูพรุนแตกต่างกัน

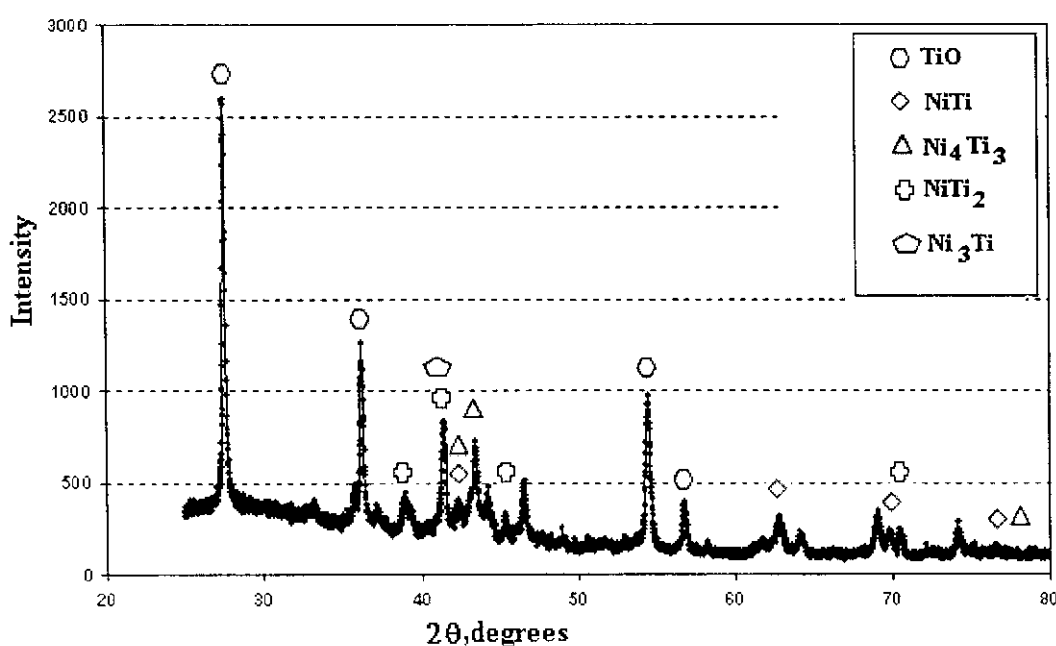


รูปที่ 3.15 การเปรียบเทียบระหว่างอุณหภูมิในการอุ่นที่มีผลต่อความแข็งแรงกดที่ความดันในการขึ้นรูปชิ้นงาน 8MPa และความดันกําชาร์กอนที่ 138 kPa และ 201 kPa

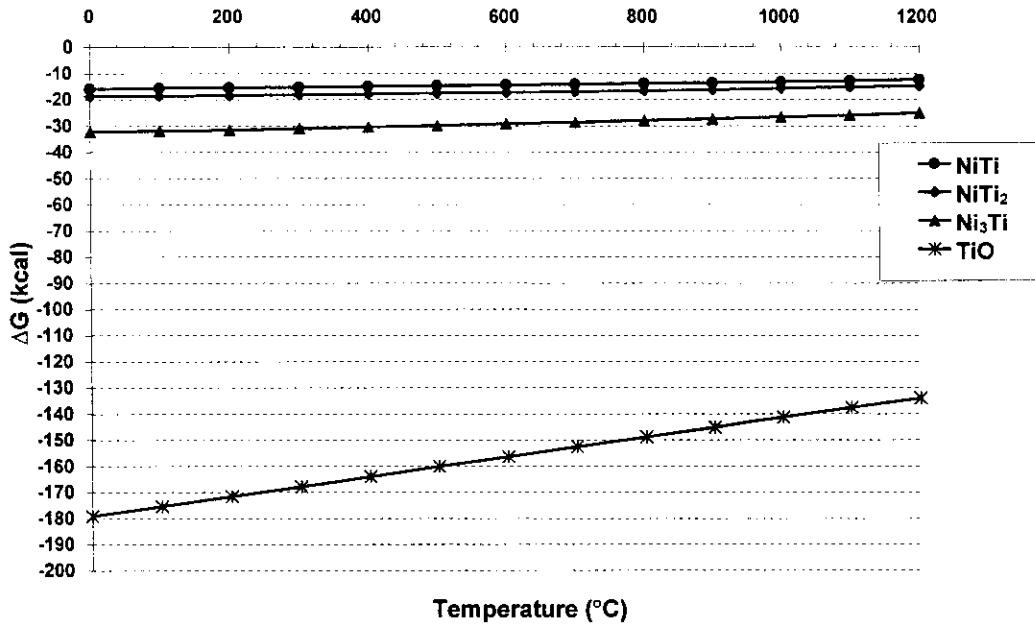
### 3.4 กระบวนการทางความร้อน (Heat treatment)

จากการทดลองพบว่า ชิ้นงานที่มีสมบัติใกล้เคียงกับกระดูกมนุษย์ที่สุด คือต้องใช้ความดันในการขึ้นรูปชิ้นงาน 16 MPa ความดันกําชาร์กอน 138 kPa และอุณหภูมิในการอุ่น 250 °C จากข้อมูลการแพทย์ถ้าความแข็งแรงในการรับแรงกดของกระดูกอยู่ในช่วง 190-256 MPa ความพรุนอยู่ในช่วง 30-90% ขนาดครูพรุนอยู่ในช่วง 100-500 μm นอกจากนี้ชิ้นงานที่ผ่านกระบวนการ SHS ต้องทำการผ่านกระบวนการทางความร้อน (Heat treatment) ซึ่งเป็นการปรับสภาพเพื่อให้ชิ้นงานมีอุณหภูมิการเกิดโครงสร้างօสเทนไนต์เริ่มต้น ( $A_s$ ) օสเทนไนต์สินสุด ( $A_f$ ) มาร์เทนไซต์เริ่มต้น ( $M_s$ ) และมาร์เทนไซต์สินสุด ( $M_f$ ) อยู่ในช่วงการทำงานภายในร่างกาย ถึงแม้ว่าความแข็งแรงกดที่ได้จากการทดลองสูงและความเครียดที่จุดสูงสุดต่ำกว่ากระดูก แต่การผ่านกระบวนการทางความร้อนจะช่วยให้ความแข็งแรงกดลดลงและเพิ่มค่าความเครียดที่จุดสูงสุดให้ใกล้เคียงกับกระดูกมากขึ้น ถึงจะสามารถนำมาใช้เป็นกระดูกเทียมได้ สำหรับชิ้นงานที่มีสมบัติดีที่สุดจากการทดลองคือ 16 MPa-138 kPa-250 °C เมื่อผ่านกระบวนการทางความร้อน (บทที่ 2) นำไปวิเคราะห์ด้วยเครื่อง XRD พบว่ามีเฟสที่เกิดขึ้นดังนี้  $TiO$ ,  $NiTi_2$ ,  $Ni_4Ti_3$ ,  $Ni_3Ti$  และ  $NiTi$  จากการคำนวณโดยใช้โปรแกรมทางด้านเทอร์โมไคนาМИกส์ (HSC) โดยพิจารณา

ความล้มเหลวระหว่างอุณหภูมิกับพลังงานกึ่งส์ พบว่า โอกาสที่จะเกิดสารประกอบของแอลัฟส์ไม่เท่ากัน ขึ้นอยู่กับอุณหภูมิและพลังงานกึ่งส์ ดังรูปที่ 3.16 เฟสที่เกิดเป็นสารประกอบง่ายที่สุดคือ  $TiO$ ,  $Ni_3Ti$ ,  $NiTi_2$  และ  $NiTi$  หรืออาจกล่าวได้ว่า ยิ่งพลังงานกึ่งส์มาก ค่าลงยิ่งมากการเกิดปฏิกิริยาของเฟสนี้จะเกิดได้ง่ายที่สุด Chu และคณะ (2006) พบว่า เฟส  $NiTi_2$  เป็นเฟสที่เสถียรที่อุณหภูมิสูงมาก ดังนั้นมีผ่านกระบวนการทางความร้อนที่อุณหภูมิสูง ( $1050^{\circ}C$ ) นาน 4 ชั่วโมง ปล่อยให้เย็นภายใต้บรรยากาศก้าซ อาร์กอน หลังจากนั้นทำการบ่มที่อุณหภูมิ  $450^{\circ}C$  นาน 1 ชั่วโมง โดยทั้งสองขั้นตอนใช้อัตราอุณหภูมิ  $10^{\circ}C/min$  อัตราก้าซอาร์กอน  $4.5 l/min$  เฟส  $NiTi_2$  มีการเปลี่ยนแปลงน้อยมาก ส่วนเฟส  $NiTi$  และ  $Ni_4Ti_3$  เกิดการแพร่ของอะตอมนิกเกิลและไทเทเนียมกลা�ยเป็นเฟสใหม่ คือ  $Ni_3Ti$  และ  $TiO$  (ในกรณีที่มีก้าซ  $O_2$  ในระบบ) สำหรับเฟส  $TiO$  ไทเทเนียมเกิดการแพร่ที่อุณหภูมิสูงรวมตัวกับก้าซออกซิเจน ( $O_2$ ) ที่อยู่ภายในท่อของเตาเผาทำให้เกิด  $TiO$  ขึ้นมา (รูปที่ 3.16) เมื่อทำการคำนวณเบอร์เรนต์ปริมาณสารประกอบต่างๆ หลังผ่านกระบวนการทางความร้อนพบว่า เฟส  $NiTi$  และ  $Ni_4Ti_3$  ลดลง เฟส  $NiTi_2$  ไม่เกิดการเปลี่ยนแปลง ส่วนเฟส  $Ni_3Ti$  และ  $TiO$  เป็นเฟสที่เกิดขึ้นหลังจากผ่านกระบวนการทางความร้อน ดังแสดงในตารางที่ 3.9 ในทางปฏิบัติเฟส  $TiO$  จะถูกควบคุมได้ด้วยการระมัดระวังอย่างเข้มงวด



รูปที่ 3.16 ผลวิเคราะห์ XRD ที่ความดันในการขึ้นรูปชิ้นงาน  $16 MPa$  ความดันก้าซอาร์กอน  $138 kPa$  และอุณหภูมิในการอุ่น  $250^{\circ}C$  หลังผ่านกระบวนการทางความร้อน



รูปที่ 3.17 ความสัมพันธ์ระหว่างอุณหภูมิกับพลังงานกึ่ง (Gibbs energies) ของการเกิดสารประกอบระหว่างนิกเกิลกับไทเทเนียม

ตารางที่ 3.9 ปริมาณสารประกอบต่างๆที่ความดันในการขึ้นรูปชิ้นงาน 16 MPa ความดันก๊าซ อาร์กอน 138 kPa และอุณหภูมิในการอุ่น 250 °C หลังผ่านกระบวนการทางความร้อน

Compaction pressure (MPa)	Preheating temperature (°C)	Compounds				
		Argon gas pressure in reactor 138 kPa				
		NiTi (%)	Ni <sub>4</sub> Ti <sub>3</sub> (%)	NiTi <sub>2</sub> (%)	Ni <sub>3</sub> Ti (%)	TiO** (%)
16*	250*	65.18*	23.32*	11.50*	0	0
16	250	36.35	17.21	11.53	13.84	21.06

\* ปริมาณสารประกอบต่างๆก่อนผ่านกระบวนการทางความร้อน

\*\* เป็นเฟสที่ป้องกันไม่ให้เกิดได้ โดยการควบคุมให้ชิ้นงานอยู่ภายใต้บรรยากาศของก๊าซเหลืออย

### 3.5 สมบัติการเปลี่ยนเฟสของวัสดุจารูปนิกเกิลไทเทเนียมที่สังเคราะห์ได้

สมบัติที่สำคัญของโลหะจารูปนิกเกิลไทเทเนียม คือความสามารถเปลี่ยนแปลงรูปร่าง และกลับมาสู่รูปร่างเดิม ขึ้นอยู่กับการเปลี่ยนโครงสร้างภายในของเนื้อโลหะ เฟสօอสเทน ไนต์และมาร์เทน ไซต์ อย่างที่กล่าวไปแล้วในบทที่ 2 ซึ่งสามารถทราบได้จากการวิเคราะห์ด้วย Differential scanning

calorimeter (DSC) เพื่อหาอุณหภูมิการเกิดโครงสร้างօอสเทนในต์เริ่มต้น ( $A_s$ ) օอสเทนในต์สิ้นสุด ( $A_f$ ) นาร์เทนไชต์เริ่มต้น ( $M_s$ ) และมาร์เทนไชต์สิ้นสุด ( $M_f$ )

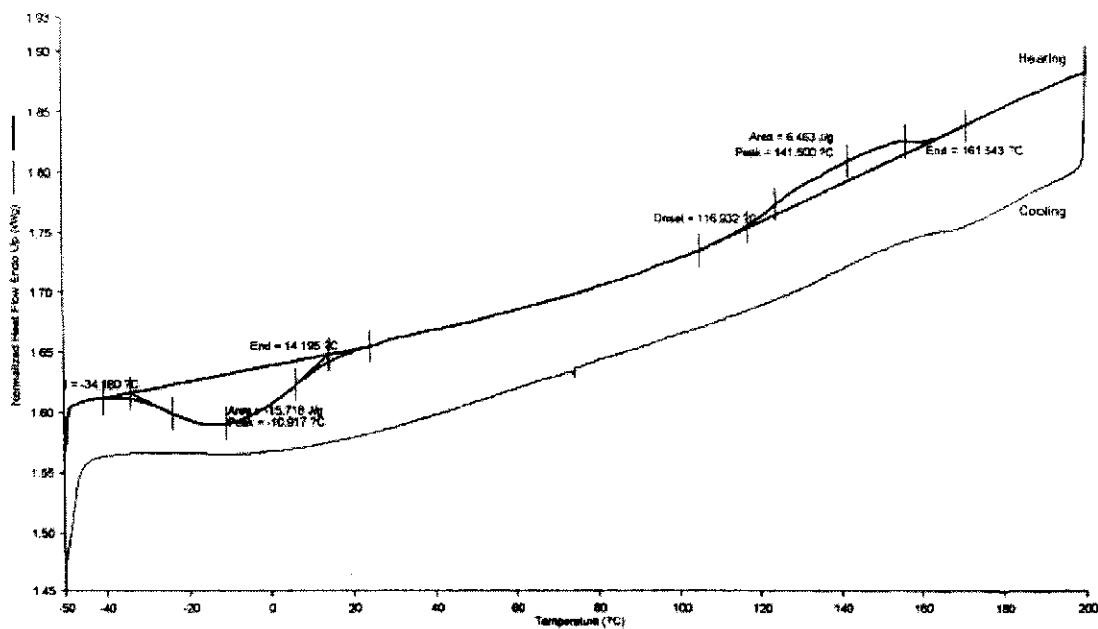
สำหรับชิ้นงานที่มีสมบัติที่สุด (16MPa-138 kPa-250°C) หลังจากกระบวนการ SHS เมื่อนำไปวิเคราะห์ด้วย DSC พบว่าจะเป็นแบบ Two-stage transformation เมื่อพิจารณากราฟของการเพิ่มความร้อน (Heating) ค่าของอุณหภูมิ  $A_s = 116.9^\circ\text{C}$  และ  $A_f = 161.5^\circ\text{C}$  ค่า  $\Delta H = 6.5 \text{ J/g}$  การเปลี่ยนเฟสจาก օอสเทนในต์ไปเป็นนาร์เทนไชต์ จะเกิด R-phase ระหว่างกลาง (Otsuka and Wayman, 1999) การเปลี่ยนเฟสจะเริ่มจาก  $R_s' = -34.2^\circ\text{C}$  และสิ้นสุดที่  $R_f' = 14.2^\circ\text{C}$  เมื่อพิจารณากราฟของการเย็นตัว (Cooling) ลักษณะกราฟเรียบไม่เกิดการคุดและการขยายความร้อน ไม่มีค่าอุณหภูมิ  $M_s$  และ  $M_f$  ดังรูปที่ 3.18 และสรุปเป็นตารางที่ 3.10 หลังจากนั้นนำชิ้นงานอันเดิมผ่านกระบวนการทางความร้อน (การอบละลายและการบ่ม) นำไปวิเคราะห์ด้วย DSC พบว่าสัญญาณ เป็นแบบ Two-stage transformation เช่นกัน เมื่อพิจารณากราฟของการเพิ่มความร้อนพบว่าก่อนการเปลี่ยนเฟสจากมาร์เทนไชต์ไปเป็นօอสเทนในต์ จะเกิด R-phase ที่อุณหภูมิ  $R_s' = -14.55^\circ\text{C}$  และสิ้นสุดที่  $R_f' = 1.01^\circ\text{C}$  และค่าของอุณหภูมิ  $A_s = 31.2^\circ\text{C}$  และ  $A_f = 46.1^\circ\text{C}$  ค่า  $\Delta H = 5.8 \text{ J/g}$  และเมื่อพิจารณากราฟของการเย็นตัว การเปลี่ยนเฟสจากօอสเทนในต์ไปเป็นนาร์เทนไชต์จะเกิดเฟส R (R-phase) ระหว่างกลางเช่นกัน การเปลี่ยนเฟสจะเริ่มจาก  $R_s = 44.6^\circ\text{C}$  และสิ้นสุดที่  $R_f = 18.1^\circ\text{C}$  ในขณะที่  $M_s = 10.3^\circ\text{C}$  และ  $M_f = -24.5^\circ\text{C}$  ตามลำดับ ดังรูปที่ 3.19 และสรุปเป็นตารางที่ 3.10

ตารางที่ 3.10 การเปรียบเทียบอุณหภูมิการเปลี่ยนเฟสหลังจากกระบวนการ SHS และหลังจากผ่านกระบวนการทางความร้อนที่วิเคราะห์ด้วย DSC

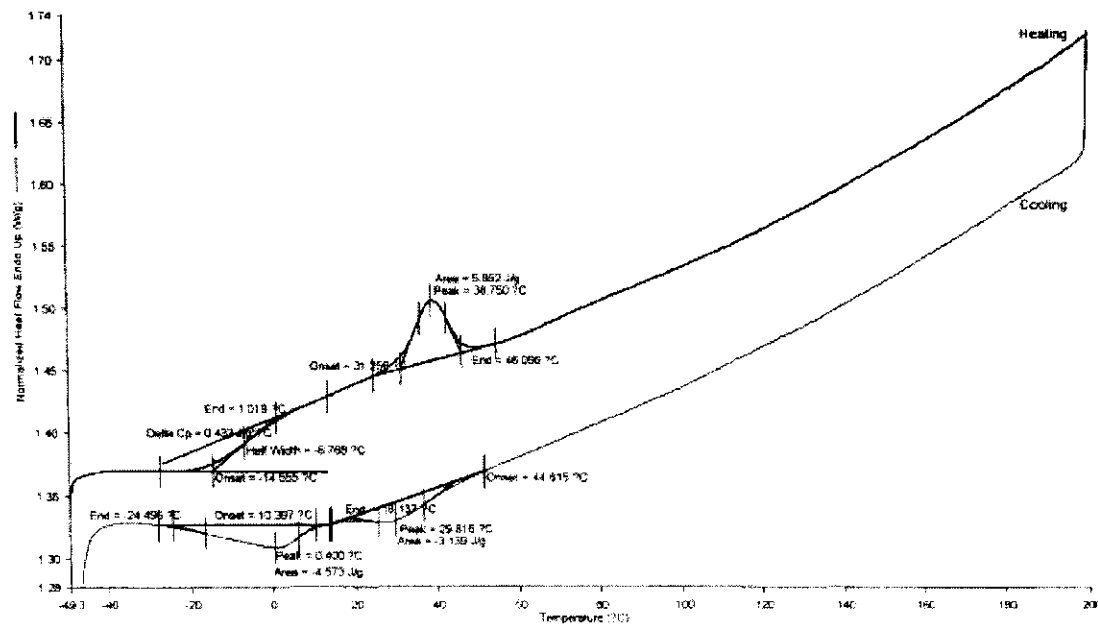
Condition	Cooling (°C)		$\Delta H$	Heating (°C)		$\Delta H$
	$M_s$	$M_f$		$A_s$	$A_f$	
After SHS	-	-	-	116.9	161.5	6.5
After solution treatment and Aging	10.3	-24.5	-3.1	31.2	46.1	5.8
อุณหภูมิที่ใช้ในร่างกาย*	-	>5	-	-	< 37	-

\*<http://herkules.oulu.fi/>

จากผลสรุปในตารางที่ 3.10 รูปที่ 3.18 และ 3.19 พบว่าชิ้นงานหลังผ่านกระบวนการทางความร้อน(ทำการอบละลายและการบ่ม) มีผลทำให้อุณหภูมิในการเปลี่ยนเฟสของօอสเทนในต์ลดลง



รูปที่ 3.18 ผลวิเคราะห์ด้วย DSC ของชิ้นงานหลัง SHS ที่ความดันในการขึ้นรูปชิ้นงาน 16 MPa ความดันก๊าซอาร์กอน 138 kPa และอุณหภูมิในการอุ่น 250 °C



รูปที่ 3.19 ผลวิเคราะห์ด้วย DSC ของชิ้นงานหลังผ่านกระบวนการทางความร้อนที่ความดันในการขึ้นรูปชิ้นงาน 16 MPa ความดันก๊าซอาร์กอน 138 kPa และอุณหภูมิในการอุ่น 250 °C